

# رنگبری و معدنی سازی رنگزای راکتیو RO16 و پساب نساجی با فرآیند نانوفتوکاتالیزی در مقیاس پایلوت

سعیده سعیدنیا<sup>۱</sup>

رامین نبیزاده<sup>۲</sup>

امیرحسین محیو<sup>۳</sup>

مرجان قبیریان<sup>۱</sup>

(دریافت ۸/۹/۱۱ پذیرش ۸/۹/۲۱)

چکیده

فرایند نانوفتوکاتالیستی با استفاده از نیمه رساناهای با ساختار نانو، یکی از تکنولوژی‌هایی است که برای اکسیداسیون تخریبی مواد آلی همچون رنگها استفاده می‌شود. در این تحقیق اکسیداسیون فتوکاتالیستی محلول آبی رنگزای 16 Reactive Orange با استفاده از تابش نور UV در حضور  $TiO_2$  مورد بررسی قرار گرفت. فوتون‌های لازم، وقتی که غلظت  $TiO_2$  به  $0.4\text{ g/L}$  برسد افزایش یافته، به صورت کامل جذب شدند. راندمان تجزیه رنگ با افزایش غلظت رنگ کاهش می‌یابد، زیرا در غلظت‌های بالای رنگ، مکان‌های فعال به وسیله یون‌های رنگ پوشیده می‌شوند در نتیجه تولید رادیکال‌های  $OH^-$  روی سطح کاتالیست کاهش می‌یابد. دلیل ممکن دیگر برای این نتایج، اثر UV-Screening خود رنگ است. اثرات بازداشت آبیون‌ها، در واقع واکنش حفره‌های مثبت و رادیکال هیدروکسیل با آبیون‌ها است که به عنوان خورنده‌های  $OH^-$  و  $h_{VB}^+$  رفتار می‌کنند و باعث طولانی شدن حذف رنگ می‌شوند. سطح  $TiO_2$  در محیط اسیدی بار مثبت دارد ( $pH < 6.8$ )، بنابراین جذب الکترواستاتیک بین سطوح بار مثبت  $TiO_2$  و رنگهای آبیونی وجود دارد. از آنجا که pH بر روی خصوصیات بار سطحی فتوکاتالیست تأثیر می‌گذارد، pH محلول، پارامتر مهمی در انجام واکنش بر روی سطوح ذرات نیمه رسانا است. معدنی سازی رنگ RO16 به وسیله اندازه‌گیری اکسیژن خواهی شیمیایی اولیه و نهایی محلولی که تحت شرایط بهینه مورد تابش قرار گرفته بود، گزارش شد. نتایج نشان دادند که فرایند نانوفتوکاتالیزی توانایی زیادی در معدنی سازی رنگ RO16 دارد.

واژه‌های کلیدی: تابش ماوراء بخش، نانوذرات دی اکسید تیتانیم، رنگبری، معدنی سازی، اکسیژن خواهی شیمیایی.

## A Pilot Study of RO16 Discoloration and Mineralization in Textile Effluents Using the Nanophotocatalytic Process

Marjan Ghanbarian<sup>1</sup>

Amir Hossein Mahvi<sup>2</sup>

Ramin Nabizadeh<sup>2</sup>

Saeedeh Saeedniya<sup>4</sup>

(Received Dec. 1, 2007 Accepted Dec. 11, 2008)

### Abstract

The nanophotocatalytic process using nano-structured semiconductors is one of the techniques used for the destructive oxidation of organic compounds such as dyes. The photocatalytic oxidation of Reactive Orange 16 aqueous solution, applied in the textile industry, was assessed by UV ray irradiation in the presence of  $TiO_2$  nanoparticles. It was found that the photons required for the process were completely absorbed when  $TiO_2$  concentration reached  $0.4\text{ g/L}$ . Degradation of paint decreased with increasing  $TiO_2$  concentration. It is suggested that at very high concentrations, the active points on ions are covered and the number of radicals like  $OH^-$  will, therefore, decrease on the surface of catalysts. Another explanation for this state of affairs is that UV screening may have the same function. The negative action of anions may be explained by the reaction of positive cavities accomplished by hydroxyl radicals with anions. This reaction can be described as corrosive for  $OH^-$  and  $h_{VB}^+$ , which can prolong the process of color removal. The  $TiO_2$  in an acidic environment has a positive charge ( $pH < 6.8$ ); therefore, there exists an electrostatic adsorption between the positive charge of  $TiO_2$  and

1. Faculty Member, Department of Environmental Health, Shahrood University of Medical Sciences

۱- عضو هیئت علمی گروه بهداشت محیط، دانشگاه علوم پزشکی شهرورد

2. Assis. Prof. of Environmental Health, Tehran University of Medical Sciences, (Corresponding Author) (+98 21) 88951400 ahmavhi@yahoo.com

۲- استادیار دانشکده بهداشت، دانشگاه علوم پزشکی تهران (نویسنده مسئول).

3. Lab Instructor, Department of Environmental Health, Shahrood University of Medical Sciences

۳- کارشناس آزمایشگاه شیمی، دانشکده بهداشت، دانشگاه علوم پزشکی شهرورد

anionic colors. pH is a very important factor because it affects the electrostatic charge of the photocatalyst ions as well as the surface of the semiconductor particles. The mineralization of RO 16 dye was reported by measuring the initial and final COD (Chemical Oxygen Demand) values of the solution irradiated under optimized conditions. The results showed that the nanophotocatalytic process has a tremendous capability in enhancing the mineralization of RO16.

**Keywords:** Reactive Orange 16, UV irradiation, Titanium dioxide nanoparticle, Discoloration, Mineralization, COD.

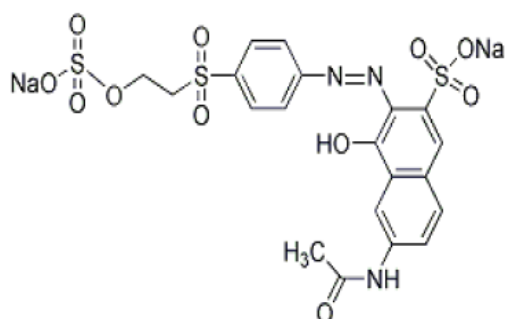
و محلولهای حاوی ترکیبات آلی همچون علف کشها و حشره کشها را به خوبی داراست [۱۰ و ۱۷-۲۱].

هدف این تحقیق بررسی معدنی سازی رنگزای RO16 بود که یک رنگزای راکتیو است و از آن به طور گسترده در صنایع نساجی ایران استفاده می‌شود. تاکنون در مورد امکان معدنی سازی و رنگبری این رنگزای، توسط فرایند نانوفتوکاتالیزی تحقیقی صورت نگرفته است؛ در نتیجه مطالعه‌ای در تعیین عملی بودن فرایند فتوکاتالیستی با استفاده از نانوذرات  $TiO_2$  به شکل دوگان در رنگبری و معدنی سازی رنگ 16 Reactive Orange R3R موسم به R3R و پساب واقعی صنعت نساجی انجام گرفت.

## ۲- مواد و روشها

### ۲-۱- مواد و تجهیزات مورد استفاده

رنگ راکتیو است که یک گروه آزو را به عنوان کروموفور و سولفاتواتیل سولفون را به عنوان گروه راکتیو حمل می‌کند. این رنگ به طور گسترده در فرایند رنگزایی و رنگ آمیزی ابزیم و نخ استفاده می‌شود. ساختار شیمیایی رنگ در شکل ۱ نشان داده شده است.  $H_2O_2$ ,  $NaCl$ ,  $NaNO_3$ ,  $Na_2SO_4$ ,  $NaHNO_3$ ,  $Na_2CO_3$  و سایر مواد شیمیایی از شرکت مرک<sup>۱</sup> تهیه شده بود. از  $TiO_2$  به عنوان فتوکاتالیست استفاده شد که خصوصیات فیزیکی آن از این قرار است: میانگین اندازه ذرات تقریباً ۲۱ نانومتر، درجه خلوص بیش از ۹۹/۵ درصد و سطح مخصوص  $50 \pm 15 m^2 g^{-1}$



شکل ۱- ساختار شیمیایی رنگ RO 16

<sup>۶</sup> Merck

## ۱- مقدمه

حدود ۱ تا ۲۰ درصد از کل تولیدات جهانی رنگها، در طول فرایندهای رنگرزی<sup>۱</sup> از دست می‌رود و در جریان‌های نساجی رها می‌شود [۱۵-۵]. وارد شدن این پسابهای رنگی به محیط، سبب از بین رفتن زیبایی محیط زیست و ایجاد شکوفایی جلبکی<sup>۲</sup> می‌شود [۹-۵]. دستورالعمل ۹۱/۲۷۱/CEE<sup>۳</sup> برای تخلیه فاضلاب تصفیه شده شهری حذف حداقل ۷۰ تا ۹۰ درصد برای BOD و ۷۵ درصد برای COD را پیشنهاد نموده است. به همین صورت در مورد پسابهای صنعتی که به همراه فاضلاب شهری تخلیه نمی‌شود، شرایط یکسانی از نظر تصفیه باید رعایت شود [۱۰].

به دلیل وجود مقداری بالای از آروماتیک‌ها در مولکول‌های رنگ و به خاطر پایداری رنگهای جدید، روش‌های متداول تصفیه بیولوژیکی برای رنگبری و تجزیه مؤثر نیستند؛ بنابراین مقدار عمدۀ رنگ فقط در لجن جذب شده و تجزیه نمی‌شود [۱۱ و ۱۲-۱۳]. در میان فرایندهای اکسیداسیون پیش‌رفته، فرایند فتوکاتالیستی ناهمنگ با استفاده از  $TiO_2$  به عنوان کاتالیست، تکولوژی تخریب کننده‌ای است [۱۴، ۸ و ۱۵]. رنگهای راکتیو جاذب قوى اشعه UV و مرئی هستند. کروموفور<sup>۴</sup> رنگ مثل پیوند آزو در ناحیه مرئی جذب دارد، در حالی که حلقة آروماتیک مثل حلقة بنزن و حلقة نفتالین در ناحیه UV جذب قوى دارد [۱۵ و ۱۶]. الکترون باند هدایت ( $e^-$ ) و حفره باند ظرفیت ( $h^+$ ) وقتی تولید می‌شوند که سوسپانسیون آبی<sup>۵</sup> با انرژی اندکی بیش از انرژی باند گپ<sup>۶</sup> خودش مورد تابش قرار بگیرد (3.2eV, Eg). تحقیقات نشان می‌دهد که با به کارگیری شرایط بهینه در این سیستم‌ها پس از ۱۶۰ دقیقه تابش، سطح تولید یون‌های معدنی همچون نیترات و کلراید به ترتیب از صفر به ۴ و ۶ میلی‌مول افزایش می‌یابد که نشان دهنده کارایی این فرایند در معدنی سازی ترکیبات آلی موجود در محلول است [۱۷].

در مطالعات گذشته رنگهای گوناگونی مورد بررسی قرار گرفته که نشان می‌دهد این سیستم توانایی کاهش بار آلی محلولهای رنگی

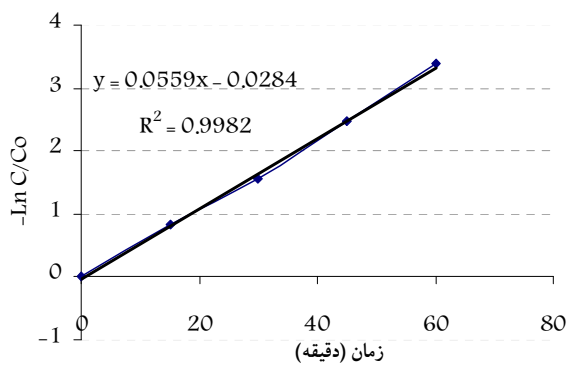
<sup>1</sup> Dying

<sup>2</sup> Algal Bloom

<sup>3</sup> دستورالعمل سازمان حفاظت محیط زیست آمریکا برای حذف COD و BOD

<sup>4</sup> Chromophor

<sup>5</sup> Band-Gap



شکل ۲- RO16 برای  $\text{LnC}/\text{C}_0$  در مقابل زمان تابش

### ۳- نتایج و بحث

#### ۱- اثر بار $\text{TiO}_2$

در ابتدا آزمایش‌ها در رابطه با اکسیداسیون فتوکاتالیستی RO16 در حضور مقادیر متفاوت کاتالیست نیمه رسانا بررسی گردید. غلظت بهینه  $\text{TiO}_2\text{-P25}$  برای رنگبری محلول ۵۰ میلی‌گرم بر لیتر RO16 در حضور مقادیر متفاوت کاتالیست از  $1/9$  تا  $1/0.9$  گرم بر لیتر مورد آزمایش قرار گرفت. نتایج حاصل و همچنین جدول ۱ نشان می‌دهد که فوتون‌های لازم، وقتی که غلظت  $\text{TiO}_2$  به  $0/4$  گرم بر لیتر افزایش می‌یابد، به صورت کامل جذب می‌شوند. بنابراین با افزایش میزان کاتالیست تا سطح مطابق با سطح بهینه جذب نور، میزان رنگبری افزایش می‌یابد [۲۲-۲۵]. در بالاتر از این مقدار، ذرات معلق کاتالیست، مانع عبور نور UV شده و باعث پراکندگی بیشتر نور می‌شوند. بنابراین افزایش بیشتر مقدار کاتالیست هیچ اثری بر روی راندمان تجزیه فتوکاتالیستی ندارد. همان‌طور که شکل ۱ نشان می‌دهد سینتیک درجه ۱ در رابطه با RO16 قابل اجراست. شکل ۳ رابطه بین میزان رنگبری محلول رنگ و بار  $\text{TiO}_2$  را نشان می‌دهد.

جدول ۱- پارامترهای  $k$  و  $R^2$  برای بررسی تأثیر مقادیر گوناگون  $\text{TiO}_2$  در رنگبری رنگ

$\text{TiO}_2$ (g/L)	$\text{RO16}$	$\text{K}(\text{L mol}^{-1} \text{ min}^{-1})$	$\text{R}^2$
۰/۱		۰/۰۱۵۴	۰/۹۹۶۲
۰/۲		۰/۰۱۶۷	۰/۹۹۸۴
۰/۳		۰/۰۱۷۸	۰/۹۹۳۱
۰/۴		۰/۰۲۲۷	۰/۹۹۳۶
۰/۵		۰/۰۱۵۲	۰/۹۹۵
۰/۷		۰/۰۱۳	۰/۹۹۴۱
۰/۹		۰/۰۱۱۴	۰/۹۷۶۴

#### ۲- راکتور فتوکاتالیستی

آزمایش‌ها در یک راکتور استوانه‌ای شکل با ظرفیت  $2/3$  لیتر از جنس شیشه انجام گرفت. منبع تابش یک لامپ UV-C ۱۸ وات ساخت شرکت استریل ایر<sup>۱</sup> بود که در مرکز ظرف قرار گرفت و توسط تیوب کوارتز حفاظت شد. فتوکاتالیست  $\text{TiO}_2$  به صورت پودر به محلول رنگ اضافه شد و عمل اختلاط توسط همزن<sup>۲</sup> مغناطیسی انجام گردید. برای جداسازی ذرات کاتالیست  $\text{TiO}_2$  از محلول رنگ، سانتریفوژ در  $6000 \text{ rpm}$  به مدت  $10$  دقیقه انجام شد و از صافی  $45/0$  میکرومتر استفاده گردید.

#### ۳- روشها، تجزیه و تحلیل

فرایند تعزیزی فتوکاتالیستی با استفاده از  $2/3$  لیتر از غلظتها مشخص رنگ انجام شد. نمونه‌ها در زمان‌های مشخص برای بررسی رنگبری از راکتور فتوکاتالیستی برداشت شدند. رنگبری از محلول رنگ با اندازه‌گیری حداکثر جذب رنگ در زمان‌های مختلف به وسیله اسپکتروفتومتر UV-Vis بررسی گردید. حداکثر جذب رنگ RO16 در طول موج  $497$  نانومتر در ناحیه مرئی طیف UV-Vis بود. آزمایش COD برای پایش معدنی‌سازی رنگ RO16 مورد استفاده قرار گرفت.

#### ۴- سینتیک رنگبری

برای تخمین پارامترهای سینتیکی ( $k$ ,  $n$ ), معادله با درجه  $n$  به صورت رابطه ۱ مورد استفاده قرار گرفت

$$-r_{\text{dye}} = -dC/dt = k \cdot C^n \quad (1)$$

که در آن

$k$  ثابت میزان رنگبری  $\text{min}^{-1}$ ,  $t$  زمان واکنش،  $C$  غلظت رنگ و  $r$  سرعت واکنش رنگبری است.

مدل سینتیکی درجه اول ( $n=1$ ) به صورت رابطه ۲ نشان داده می‌شود

$$-LnC/C_0 = kt \quad (2)$$

که در آن

$C_0$  غلظت اولیه رنگ است.

در شکل ۲-  $\text{LnC}/\text{C}_0$ - بر حسب زمان تابش برای RO16 ترسیم شده است. شکل ۲ نشان می‌دهد که کاهش غلظت رنگ با گذشت زمان تابش، از یک الگوی خطی پیروی می‌کند و در نتیجه سینتیک درجه اول در مورد رنگ قابل اجراست.

<sup>1</sup> Steril Air

<sup>2</sup> Shaker

## جدول ۲- پارامترهای $k$ و $R^2$ برای بررسی تأثیر غلظتهاهای گوناگون

رنگزا در رنگبری رنگ RO16

Dye (mg/L)	RO16	
	K(L mol <sup>-1</sup> min <sup>-1</sup> )	R <sup>2</sup>
۲۵	۰/۰۱۰	۰/۶۶۷۳
۵۰	۰/۰۱۵	۰/۹۷۳۷
۱۰۰	۰/۰۰۴۸	۰/۹۹۳۶
۱۵۰	۰/۰۰۳۸	۰/۹۷۷۱

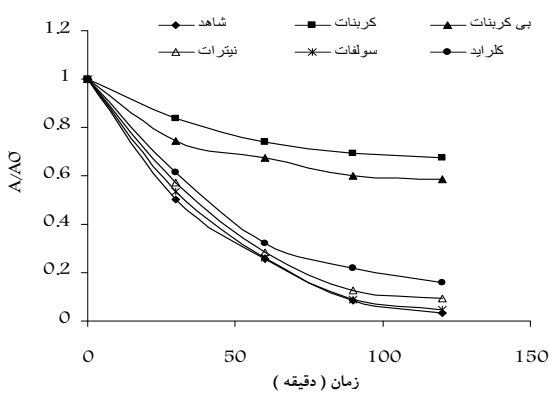
## ۳-۳- اثر آنیون‌ها

یون‌های معدنی ممکن است برای سایت‌های فعال روی سطح  $TiO_2$  رقابت کنند یا فتوکاتالیست را غیر فعال نمایند، و در نتیجه باعث کاهش میزان تجزیه رنگهای موردنظر شوند. این موضوع باعث بالا رفتن نیاز به  $OH^-$  برای تکمیل تجزیه‌های انجام نشده یا کامل کردن میزان و راندمان اکسیداسیون پیشرفت می‌شود. برای بررسی این موضوع که چگونه یون‌های معدنی محلول بر روی میزان رنگبری فتوکاتالیستی RO16 تأثیر دارد، نمک  $Na_2CO_3$ ،  $Na_2SO_4$ ،  $NaHCO_3$ ،  $NaCl$  و  $NaNO_3$  مقدار یکسان ۲/۵ میلی‌مول از این نمکها استفاده شد. شکل ۵، اثر آنیون‌ها را بر روی رنگبری فتوکاتالیستی RO16 نشان می‌دهد.

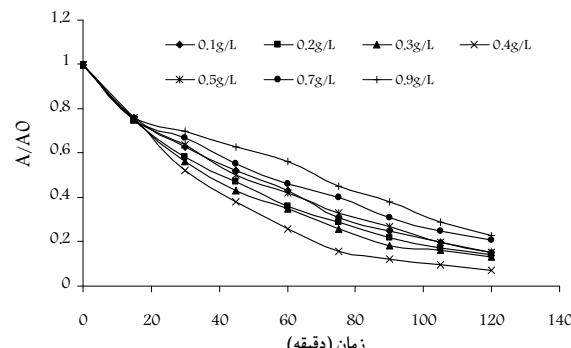
پارامترهای  $k$  (ثابت سرعت) و  $R^2$  (ضریب همبستگی) فرایند رنگبری در جدول ۳ نشان داده شده است. اثر تأخیری مشاهده شده بر رنگبری فتوکاتالیستی RO16 از دستور زیر پیروی می‌کند

$$SO_4^{2-} < NO_3^- < Cl^- < CO_3^{2-} < HCO_3^- < OH^-$$

اثرات بازدانده آنیون‌ها می‌تواند به صورت واکنش حفره‌های مثبت و رادیکال هیدروکسیل با آنیون‌ها شرح داده شود، که به عنوان خورنده‌های  $OH^-$  و  $h_{VB}^+$  رفتار می‌کنند و باعث طولانی شدن حذف رنگ می‌شوند [۲۲] و [۲۱].



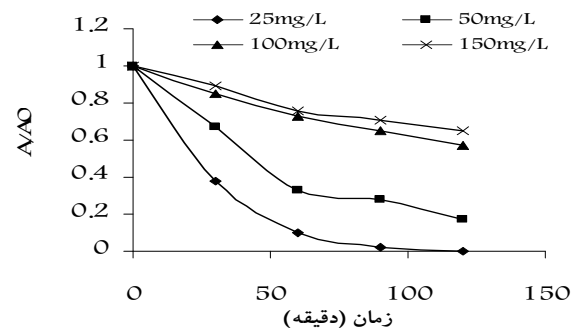
شکل ۵- بررسی تأثیر آنیون‌ها در رنگبری رنگ RO16



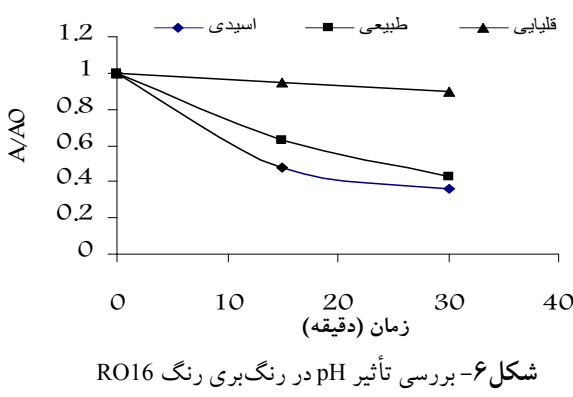
شکل ۳- تأثیر میزان بار  $TiO_2$  بر میزان رنگبری رنگ RO16

## ۲-۲- اثر غلظت اولیه رنگ

برای مطالعه اثر غلظت رنگ بر میزان رنگبری، غلظتهاهای RO16 از ۲۵ تا ۱۵۰ میلی‌گرم در لیتر مورد استفاده قرار گرفت و سایر پارامترها ثابت نگه داشته شد، یعنی pH طبیعی و  $TiO_2$  برابر ۰/۴ گرم در لیتر. شکل ۴ میزان کاهش رنگ را با افزایش زمان تابش در غلظتهاهای اولیه گوناگون رنگ نشان می‌دهد (۲۵، ۵۰، ۱۰۰ و ۱۵۰ میلی‌گرم در لیتر). با توجه به جدول ۲ بهترین کارایی فرایند در میزان رنگزای ۵۰ میلی‌گرم بر لیتر است. همان‌طور که شکل ۲ نشان می‌دهد، سینتیک درجه ۱ در رابطه با RO16 قابل اجراست. به هر حال، ثابت ظاهری نسبت رنگبری بستگی به غلظت اولیه رنگ دارد. راندمان تجزیه رنگ با افزایش غلظت رنگ، کاهش می‌یابد. دلیل فرض شده این است که در غلظتهاهای بالای رنگ، مکان‌های فعال بهوسیله یون‌های رنگ پوشیده می‌شود و در نتیجه تولید رادیکال‌های  $OH^-$  روی سطح کاتالیست کاهش می‌یابد. دلیل دیگر برای این نتایج می‌تواند اثر UV-Screening خود رنگ باشد. در غلظت بالای رنگ، مقدار عمدۀ از UV به جای آنکه توسط ذرات  $TiO_2$  جذب شود ممکن است توسط ملکولهای رنگ جذب شود که این موضوع راندمان واکنش کاتالیستی را به خاطر کاهش غلظت  $OH^-$  و  $O_2^-$  کاهش دهد [۱]. دلیل دیگری که می‌تواند وجود مولکول‌های رنگ مادر تشکیل شده‌اند [۲۱].



شکل ۴- بررسی تأثیر غلظت رنگزا در رنگبری رنگ RO16

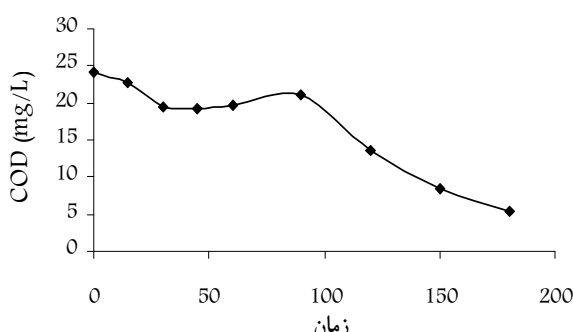


جدول ۴- پارامترهای  $k$  و  $R^2$  برای بررسی تأثیر pH های گوناگون در

رنگبری رنگ RO 16

pH	RO 16 $K(L \text{ mol}^{-1} \text{ min}^{-1})$	$R^2$
اسیدی	۰/۰۳۷	۰/۹۲۸۲
طبیعی	۰/۰۲۷۸	۰/۹۹۶۴
قلیابی	۰/۰۰۳۳	۱

به ترکیباتی با وزن مولکولی کمتر می‌شکنند و در نتیجه محصولات واسطه باز هم بر COD تأثیر می‌گذارند. پس از رنگبری محلول، COD شدیداً کاهش می‌یابد و به وضعیت ثابتی می‌رسد و با ادامه اکسیداسیون توسط فرایند، تجزیه و ترکیبات پایدار ادامه می‌یابد و در نهایت معدنی‌سازی کامل محصولات واسطه رخ می‌دهد. شکل ۷ کاهش میزان COD را در راکتور فتوکاتالیستی با گذشت زمان نشان می‌دهد. در این مطالعه پس از به دست آمدن شرایط بهینه بهره‌برداری از فرایند تانوفتوکاتالیستی، آزمایش‌ها بر روی پساب واقعی یک صنعت نساجی صورت گرفت. میزان رنگبری از پساب با استفاده از اسپکتروفتومتر و میزان معدنی سازی مواد آلی موجود در پساب با استفاده از آزمایش COD انجام گرفت. شکل ۷ و ۹ به ترتیب میزان رنگبری و کاهش COD پساب واقعی را نشان می‌دهد.



شکل ۷- کاهش میزان COD رنگ سنتیک RO16 با گذشت زمان در راکتور فتوکاتالیستی

جدول ۳- پارامترهای  $k$  و  $R^2$  برای بررسی تأثیر آنیون‌های گوناگون در

رنگبری رنگ RO16

آنیون‌ها	RO16	
	$K(L \text{ mol}^{-1} \text{ min}^{-1})$	$R^2$
شاهد	۰/۰۲۷	۰/۹۸۳۷
نیترات	۰/۰۲۰۹	۰/۹۸۴۷
سولفات	۰/۰۲۵۳	۰/۹۸۹۵
بی‌کربنات	۰/۰۰۵۳	۰/۸۰۹۱
کربنات	۰/۰۰۳۸	۰/۸۷۲۱
کلراید	۰/۱۶۴	۰/۹۸۲۹

#### ۴-۳- اثر pH

از آنجایی که پسابهای رنگی صنایع pHهای مختلفی دارند، بنابراین رنگها هم روش تجزیه متفاوتی دارند؛ به همین علت، آزمایش‌های مقایسه‌ای در سه مقدار pH انجام گرفت. یک آزمایش در کاملاً اسیدی (pH برابر ۲)، یک آزمایش در pH کاملاً بازی (pH برابر ۱۰/۵) و دیگری در pH خنثی (برای RO16 pH برابر ۶/۵). نتایج مطالعات شاهد نشان داد که pH اولیه محلول رنگ، اثر ناچیزی بر روی شیمی رنگ RO16 دارد. نقطه بار صفر<sup>۱</sup> برای ذرات  $TiO_2$ ،  $pH_{pzc}=6.8$  است. سطح  $TiO_2$  در محیط اسیدی بار مثبت دارد ( $pH < 6.8$ )؛ بنابراین جذب الکترواستاتیک بین سطوح بار مثبت  $TiO_2$  و رنگهای آنیونی وجود دارد. همان‌طور که سیستم افزایش می‌یابد، تعداد مکان‌هایی که بار منفی دارند نیز بیشتر می‌شود. مکان‌های سطحی با بار منفی برروی  $TiO_2$  تمایلی به جذب آنیون‌های رنگ ناشی از دفع الکترواستاتیک ندارند. همچنین جذب کمتر RO16 در pH قیایی ناشی از حضور یون‌های اضافی  $OH^-$  است که با آنیون‌های رنگی برای مکان‌های جذب رقابت می‌کنند.

همان‌طور که در شکل ۵ و جدول ۳ نشان داده شد، آنیون سولفات اثر ناچیزی بر روی میزان رنگبری دارد، بنابراین  $H_2SO_4$  و NaOH برای تعديل pH محلول رنگ استفاده می‌شوند.

اثر pH روی رنگبری RO16 در شکل ۶ نشان داده شده است.

همان‌طور که در جدول ۴ ملاحظه می‌گردد، دستور ثابت سرعت برای رنگ RO16 به صورت زیر است

$$pH_{acidic} > pH_{natural} > pH_{alkaline}$$

#### ۵-۳- معدنی سازی فتوکاتالیستی RO16

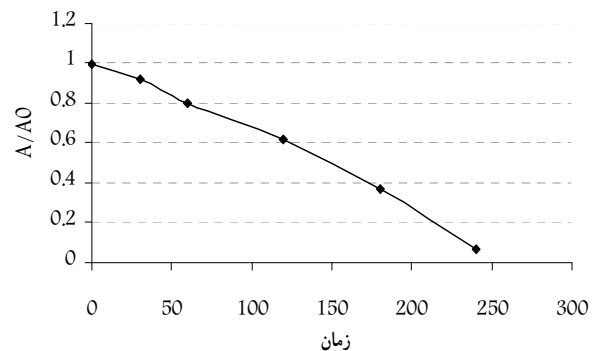
به منظور ارزیابی درجه معدنی سازی به دست آمده در طول تصفیه فتوکاتالیستی، از آزمایش COD استفاده شد. کاهش پارامتر COD اندازه‌گیری شده منجر به این واقعیت می‌شود که مولکول‌های رنگ

<sup>1</sup> Point of Zero Change (pzc)

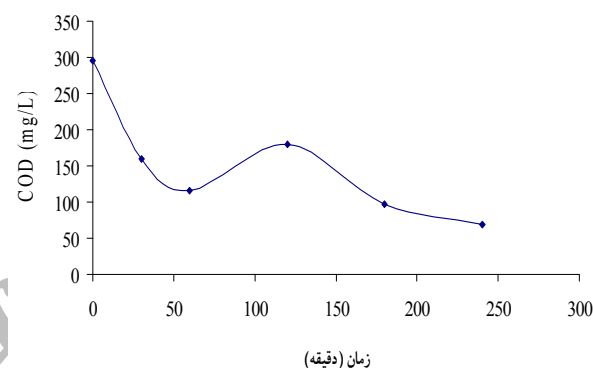
در پژوهشی دیگر نسبت غلظت اولیه مواد آلی متیلن بلو و کلروفنل در مدت زمان تابش ۴ تا ۲۰ ساعت به ترتیب از ۱ به صفر و ۰/۲۵ کاهش یافته است [۱۹]. در این تحقیق میزان ۷۸ درصد کاهش COD مشاهده شد. در بررسی روند معدنی سازی این سیستم، کاهش بار آلی ترکیباتی همچون استات، فرمات و اکسالات به صفر میلی مول گزارش شده است [۱۸]. افزایش یون های معدنی نیترات و سولفات طی فرایند نانوفتوکاتالیستی به ترتیب از ۰/۱ و ۰/۲۵ تا ۰/۶ مشاهده گردیده است [۲۱].

#### ۴- نتیجه گیری

در این مطالعه رنگ RO16 با استفاده از راکتور فتوکاتالیستی در حضور نانوذرات دی اکسید تیتانیم به صورت دوغاب به خوبی رنگبری و معدنی سازی شد. اثر پارامترهای بهره برداری مثل بارگذاری  $TiO_2$ , غلظت رنگزا، حضور آنیون های  $Cl^-$ ,  $SO_4^{2-}$ ,  $NO_3^-$ ,  $HCO_3^-$ ,  $CO_3^{2-}$  و pH مورد بررسی قرار گرفت.  $Na_2CO_3$  و پس از آن  $NaHCO_3$  بیشترین اثر تأخیری را بر فرایند فتوکاتالیستی دارند. سینتیک رنگبری فتوکاتالیستی برای رنگ RO16 از معادله درجه یک پیروی می کند. در طول فرایند فتوکاتالیستی محصولات واسطه آلی تشکیل می شوند که باعث می شوند میزان COD محلول در بازه ثابتی قرار بگیرد و پس از آن مجدد COD کاهش می یابد و در نهایت معدنی سازی کامل رنگ صورت می گیرد. در کاربرد این روش در مقیاس بزرگ، جداسازی و بازیافت ذرات کاتالیست از فاضلاب تصفیه شده، فرایندی وقت گیر و گران قیمت است و بعلاوه عمق نفوذ نور UV به خاطر جذب قوی توسط ذرات کاتالیست و رنگهای محلول کاهش می یابد و این مشکل با غیر متحرک کردن ذرات کاتالیست بر روی سطوح نگه دارنده مناسب، متفع می گردد. میزان کاهش COD و معدنی سازی نمونه سینتیک (نمونه دست ساز اولیه) توسط فرایند نانوفتوکاتالیزی به شدت کاهش یافته و میزان کاهش آن پس از زمان ۱۸۰ دقیقه در حدود ۰/۱۸ درصد می باشد که مقدار قابل توجهی است. طبق نتایج موجود، میزان معدنی سازی و کاهش COD در نمونه پساب صنعت نساجی طی ۲۴۰ دقیقه تابش در فرایند نانوفتوکاتالیستی ۱/۷۷ درصد است.



شکل ۸- رنگبری از پساب واقعی صنعت نساجی



شکل ۹- کاهش COD بر حسب زمان

#### ۶- مقایسه نتایج با سایر تحقیقات مشابه

در مطالعاتی که بر روی بررسی کارایی فرایند فتوکاتالیستی در حذف رنگ صورت گرفته، نشان داده شده که نتایج مشابهی از نظر شرایط بهینه بهره برداری در مورد این نوع سیستم وجود دارد که در آنها میزان بهینه  $TiO_2$  ۰/۳ گرم بر لیتر گزارش شده است [۱۷]. در تحقیقی دیگر میزان ۰/۵ گرم بر لیتر به عنوان شرایط بهینه مصرف  $TiO_2$  بیان گردیده است [۱۰]. در این تحقیق میزان ۰/۴ گرم بر لیتر به دست آمد.

در بررسی کارایی سیستم در کاهش بار آلی در سایر تحقیقات، نتایج بسیار خوبی در مورد کاهش بار آلی محلولها توسط این سیستم گزارش شده است؛ مثلاً درصد حذف TOC تا حداقل ۷۵ درصد مشاهده گردیده است [۲۰].

#### ۵- مراجع

- 1- Konstantinou, I.K., and Albanis, T.A. (2004). "TiO<sub>2</sub>-assisted photocatalytic degradation of azo dyes in aqueous solution: Kinetic and mechanistic investigations. A review." *Appl. Catal. B: Environ.*, 49 (1), 1-14.
- 2- Zollinger, H. (1991). *Synthesis, properties and applications of organic dyes and pigments*, 2<sup>nd</sup> Ed., VCH, USA.
- 3- Weber, J., Stickney, V.C. (1993). "Integrating conservation targets into water projections." *Wat. Res.*, 27, 63.

- 4- Ràfols, C., Barceló, D. (1997). "Determination of mono- and disulphonated azo dyes by liquid chromatography-atmospheric pressure ionization mass spectrometry." *J. Chromatography A.*, 777 (1-2), 177-192.
- 5- Houas, A., Lachheb, H., Ksibi, M., and et al. (2001). "Photocatalytic degradation pathway of methylene blue in water." *Appl. Catal. B: Environ.*, 31 (2), 145-157.
- 6- Pagg, U., Bruan, D. (1986). "The degradation of dyestuffs: Part II Behaviour of dyestuffs in aerobic biodegradation tests." *Chemosphere*, 15 (4), 479-491.
- 7- Alaton, I.A. (2002). "Advanced oxidation of a reactive dyesbath effluent: comparison of O<sub>3</sub>, H<sub>2</sub>O<sub>2</sub>/UV-C and TiO<sub>2</sub>/UV-A processes." *Water Res.*, 36 (5), 1143-1154.
- 8- Neppolian, B., Choi, H.C., Sakthivel, S., and et al. (2002). "Solar light induced and TiO<sub>2</sub> assisted degradation of textile dye reactive blue 4." *Chemosphere*, 46 (8), 1173-1181.
- 9- Saquib, M., Muneer, M. (2003). "TiO<sub>2</sub>-mediated photocatalytic degradation of a triphenylmethane dye (gentian violet), in aqueous suspensions." *Dyes Pigments.*, 56 (1), 37-49.
- 10- Caliman, A.F., Cojocaru, C., Antonidis, A., and Poulios, I. (2006). "Optimized photocatalytic degradation of Alcian Blue 8 GX in the presence of TiO<sub>2</sub> suspensions." *J. Hazard. Mater.*, 144 (1-2), 265-273.
- 11- Patil, S.S., and Shinde, V.M. (1988). "Biodegradation studies of aniline and nitrobenzene in aniline plant wastewater by gas chromatography." *Environ. Sci. Technol.*, 22, 1160.
- 12- Alaton, I. A. (2003). "A review of the effects of dye-assisting chemicals on advanced oxidation of reactive dyes in wastewater." *Color. Technol.*, 119, 345-353.
- 13- Pagg, U., and Taeger, K. (1994). "Development of a method for adsorption of dyestuffs on activated sludge." *Wat. Res.*, 28 (5), 1051.
- 14- Styliadi, M., Dimitris, I. K., and Xenophon, E.V. (2003). "Pathways of solar light-induced photocatalytic degradation of azo dyes in aqueous TiO<sub>2</sub> suspensions." *Appl.Catal.B: Environ.*, 40 (4), 271-286.
- 15- Mahmoodi, N.M. Arami, M., Limaee, N.Y., and et al. (2006). "Kinetics of heterogeneous photocatalytic degradation of reactive dyes in an immobilized TiO<sub>2</sub> photocatalytic reactor." *J. Colloid Interface Sci.*, 295 (1), 159-164.
- 16- So, C.M., Cheng, M.Y., YU, J. C., and et al. (2002). "Degradation of azo dye Procion Red MX-5B by photocatalytic oxidation." *Chemosphere*, 46 (6), 905-912.
- 17- Kaur, S., and Singh, V. (2007). "TiO<sub>2</sub> mediated photocatalytic degradation studies of Reactive Red 198 by UV irradiation." *J. Haz. Mat.*, 141 (1), 230-236.
- 18- Mahmoodi, N. M., Arami, M., and Yuosefi, N. (2007). "Nanophotocatalysis using immobilized titanium dioxide nanoparticle: Case study of Butachlor." *Mater. Res. Bulletin*, 42 (5), 797-806.
- 19- Lin, C., and Lin, K. S. (2007). "Photocatalytic oxidation of toxic organohalides with TiO<sub>2</sub>/UV: The effects of humic substances and organic mixtures." *Chemosphere*, 66 (10), 1872- 1877.
- 20- Silva, C. G., Wang, W., and Faria, J. L. (2006). "Photocatalytic and photochemical degradation of mono-, di- and tri-azo dyes in aqueous solution under UV irradiation." *J. PhotoChemistry. and Photobiology A: Chemistry*, 181 (2-3), 314-324.
- 21- Mahmoodi, N.M. (2006). "Decolorization and mineralization of textile dyes at solution bulk by heterogeneous nanophotocatalysis using immobilized nanoparticles of titanium dioxide." *Colloid. Surface, A: Physicochem. Eng. Aspects*, 290 (1-3), 125-131.
- 22- Tang, W.Z. (1997). "TiO<sub>2</sub>/UV photodegradation of azo dyes in aqueous solutions." *Environ. Technol.*, 18, 1-12.
- 23- Grzechulska , and J., Morawski, A.W. (2002). "Photocatalytic decomposition of azo-dye acid black 1 in water over modified titanium dioxide." *Appl. Catal. B: Environ.*, 36, 45-51.
- 24- Davis, R.J. (1994). "Photocatalytic decolorization of wastewater dyes." *Wat. Environ. Res.*, 66, 50.
- 25- Zielinska, B., Grzechulska, J., and Grzmil, B. (2001). "Photocatalytic degradation of reactive Black 5-A comparison between TiO<sub>2</sub>-Tytanol A11 and TiO<sub>2</sub>-Degussa P25 photocatalysts." *Appl. Catal. B: Environ.*, 35, L1-L7.